地质与勘探 1995年3月 第31卷 第2期

# 金矿床中"绿化"—— 含铬绢云母化及其找矿意义

鲁安怀 陈光远 (中国地质大学・北京・100083)

详细研究了胶东金矿中含铬绢云母的颜色、粒径、形态、化学成分、晶体结构、 光性等标型特征,提出了"红化"与"绿化"相结合的金矿找矿方法。探讨了含铬绢 云母的形成机理,利用 Cr 元素的示踪性,揭示了胶东金矿成矿作用与成岩作用乃 至矿源层的继承关系。

关键词 含铬绢云母 "绿化" 胶东金矿



近年来,在胶东金矿中 发现了大量的含铬绢云母, 其主要产于主成矿阶段的富 矿体中,与石英。黄铁矿、铁 白云石和银金矿等矿物共 生,主要呈浸染状、网脉状构

造,局部呈团块状、脉状构造。在贫矿及近矿 围岩中含铬绢云母含量较少,并渐变为绢云 母。

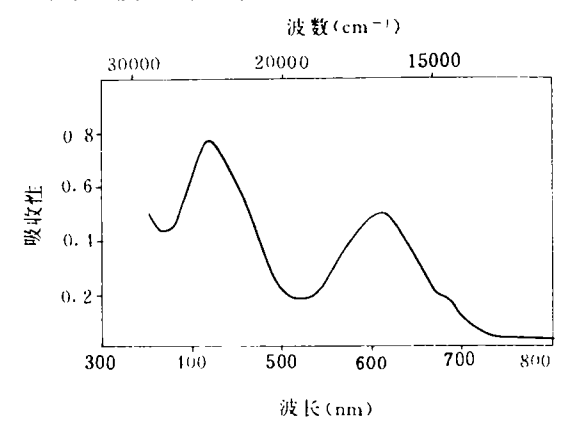
含铬绢云母化的形成机理及其在金矿成 矿理论与找矿中的意义,在国内外一直被忽 略。陈光远等(1985)首先在胶东金矿中发现 了含铬绢云母,并指出它是胶东群成分特征 的继承,也是强烈蚀变矿化的标志[1]。

本文重点对胶东金矿中含铬绢云母的颜 色、粒径、形态、化学成分、晶体结构、光性等 进行了详细研究,总结了含铬绢云母的标型 特征。提出了金矿床中"绿化"的概念,阐明了 "绿化"即含铬绢云母化的形成机理及其在金 矿找矿方面的意义。

# 1 标型特征

#### 1.1 颜色

Cr3+属于过渡型离子,为 3d3 组态,在八 面体晶体场中,Cr3+基态谱项分裂的能级顺 序由高到低为'Tig、'T2o、'A2g3个态(马尔富 宁,1979)[2],因此在八面体晶体场中。含铬绢 云母中的 Cr3+能产生两个吸收谱,即4A2 →'T<sub>2g</sub>、'T<sub>2g</sub>→'T<sub>1g</sub>跃迁。图 1 为铬白云母解理 面上 Cr3+吸收谱特征(3),这两个吸收谱位置 分别为 16700cm<sup>-1</sup>和 24000cm<sup>-1</sup>,前者吸收 橙色光,补色为蓝色,后者吸收紫色光,补色 为绿色。很明显 24000cm-1位置吸收谱强度 大,为主要吸收谱,故含铬绢云母主要为绿 色,常呈翠绿色、绿色、苹果绿色,Cr 含量的 高低直接影响到绿色色调。



铬白云母解理面上 Cr3+吸收光谱 (据 Rossman, 1984)

各种绿色色调的含铬绢云母,常被作为 装饰材料和玉石原料,如加拿大把含铬绢云

本文 1994 年 8 月收到, 范若芬编辑。

母组合的斑杂状鲜艳绿色岩石称为 Virginite,用作装饰材料。我国也把含铬绢云母与 长石、石英组合作为绿色玉石开采,含铬绢云 母与长石组合被称为南阳玉,含铬绢云母与 石英组合被称为东陵玉,其工艺品享誉海内 外。

本文根据含铬绢云母在金矿成矿与找矿 中的重要意义以及其特征的绿色,并参考金 矿成矿理论与找矿实践中被广泛应用的"红 化"概念,特将金矿化过程中出现的含铬绢云 母化命名为"绿化"。

#### 1.2 粒度

白云母粒径大于 0.1mm,而绢云母则小 于 0.1mm(Омельяненко, 1982)(1)。粒径的差 异主要受形成温度控制,细粒绢云母形成温 度为 250~300 C<sup>(4)</sup>、180~320 C(Eberl, 1987)[5],而粗粒白云母形成温度较高。

胶东金矿中含铬绢云母粒度较细,其形 成温度即为金矿化温度,大约为 250℃左 右<sup>□</sup>,形成于主成矿期。与成矿前不含 Cr 的 绢云母比较,绢云母粒径较大,如三山岛金矿 绢云母粒径为 0.032~0.240mm,含铬绢云 母粒径仅为 0.002mm。这是由于成矿前环境 中溶液浓度未达到饱和,故发芽数目较少,而 且温度较高,晶体生长速度较快,因此形成的 绢云母粒度较粗,在三山岛金矿局部还出现 成矿前粗粒白云母,粒径达 2~10mm。在成 矿期矿化溶液浓度达饱和甚至过饱和时,使 得发芽数目大大增加,同时温度也有所降低, 晶体生长速度减慢,故形成的含铬绢云母粒 度较细,它是低温水热系统中特有的产物。

## 1.3 形态

粒度与形态直接相关,随粒径减小,由片 状向鳞片状、细鳞片状过渡。在胶东金矿中含 铬绢云母呈细鳞片状集合体,而绢云母往往 呈板条状。据此可在显微镜下直接区分绢云 母与含铬绢云母。

## 1.4 化学成分

通过对含铬绢云母化学成分标型性的详

细研究<sup>63</sup>,含铬绢云母中SiO<sub>2</sub>含量变化范围 为 46. 32%~59. 35%,四面体中 Si 离子数为 3.13~3.78,其中 Si>3.30 的占 37.5%,不 同于高压环境下多硅白云母的形成条件,它 表明与热液蚀变有关的金矿中,含铬绢云母 的形成环境是富 Si 的,与硅化强烈相对应。 因此,含铬绢云母四面体中Si离子数指示蚀 变程度,Si 离子数多是硅化强烈的反映。

含铬绢云母中 Cr<sub>2</sub>O<sub>3</sub> 含量,目前统计可 达 2%, 多数小于 1%, 并含少量 Ni、V、Ti、 Mg、Fe 等,它们是 Au 沉淀富集的直接标 志。Cr 离子数高往往指示金品位高,但在一 些大型、特大型金矿中,由于受矿化规模大的 影响, Cr 和 Au 较分散, 放 Cr 离子数较低, 金品位也不高。因此,含铬组云母中 Cr,O。含 量高,可指示金品位较高,Cr<sub>2</sub>O<sub>3</sub>含量低金品 位也较低,并暗示矿化规模较大。

含铬绢云母中 K<sub>2</sub>O 的变化范围 6.42% ~11.37%,层间 K 离子数为 0.45~0.99,K 不足 1,往往由 H<sub>2</sub>O 替代(1),而 H<sub>2</sub>O 是水热 蚀变作用中主要组分。因此,含铬绢云母层间 K 离子数越少越有利于蚀变和矿化,随着矿 化规模增大,含铬绢云母中 K₂O 含量也增 高,是含铬绢云母在破碎蚀变带中不同部位 的反映,从边部到中部,随破碎、蚀变、矿化程 度增高,K减少,H2O增多。

#### 1.5 晶体结构

对含铬绢云母粉晶 X 射线衍射实验,全 部为 2M, 多型。已有的资料表明绢云母多型 与其水化程度有一定的关系(表 1)。绢云母 化的物理化学条件有利于 2M1 多型形成,水 云母则以 1M 多型为主,至于 1Md、2M2、3T 变体在绢云母中很少出现或仅以混入物形式 出现。胶东金矿富矿体中产出的贫 K 富 H<sub>2</sub>O 的含铬绢云母最初便可能以 1M 多型为主, 即可能有一部分 2M, 变体是由矿化期形成 的 1M 变体经过作用持续时间增加转变而 成。

不同金矿含铬绢云母晶胞参数(表 2),

33

具有随 SiO<sub>2</sub> 含量增加、K<sub>2</sub>O 含量减小而变小 的趋势,尤其反映在  $a_0$  值上,即  $a_0$  值与 SiO<sub>2</sub> 含量呈反比,与 K<sub>2</sub>O 含量呈正比(图 2)。因 此,含铬绢云母 a。值小可指示 H<sub>2</sub>O 含量高, 是硅化强烈、水热蚀变程度高的标志,反映矿 化程度高。据此 a。值可作为评价含矿性的良 好标志,也可作为矿物学填图的有效要素。

表 1 绢云母水化程度与多型

 矿 物	$\Delta d(\frac{1}{\Lambda})$	多型
非水化绢云母	0	2M <sub>1</sub> ,(3T)
弱水化绢云母	0.03~0.01	$2M_1>1M$
强水化绢云母	0.1~0.15	$1M>2M_1$
水云母	>0.15	1M,(1Md)

 $\Delta d = d(001)_{\Xi m} - d(001)_{\Xi m}$ ,据 Омельяненко, 1982 年资料(4)整理。

### 1.6 光性

含铬绢云母的水化程度较高。又含一定 的 Cr<sub>2</sub>O<sub>3</sub>,重元素 Cr.会减小八面体层结构单 元层平行与垂直两个方向上的折射率差别, (OH)和 H<sub>3</sub>O+会造成折射率减小,层间氢 键 与层面垂直,还会造成层间连系加强,即  $N_p$ 增大(叶大年,1988)(7)。故联合作用的结果会 造成重折射率降低。因此,含铬绢云母的干涉 色常为浅黄色,低于正常绢云母的红、黄、绿、 蓝等鲜艳干涉色。据此在显微镜下可区分含 铬绢云母与绢云母。

表 2 含铬绢云母晶胞参数(Å)与化学成分(%)

矿床	样号	<b>a</b> <sub>0</sub>	<b>b</b> <sub>0</sub>	C <sub>0</sub>	β	K <sub>2</sub> O	Cr <sub>2</sub> O <sub>3</sub>	SiO <sub>2</sub>
=	SQ24	5. 186	9. 001	20. 092	95°38′	7. 43	0.96	49. 31
	SQ3	5. 194	<b>9.</b> 005	20. 094	95°45′			
三山岛	SQ22	5. 201	9. 006	20. 131	95°42′	10. 75	0.31	48. 38
<b>25</b>	SQ7	5. 203	8. 998	20. 100	95°46′			
	SQ11	5. 204	9. 018	20. 126	95°49′	10. 99	0. 25	47. 48
	JD1	5. 139	8. 796	19. 981	95°46′	7. 23	0.69	50. 97
焦 家	JY10	5. 175	9. 003	20. 066	95°24′	8.49	0.31	47. 67
7.	JY3	5. 202	8. 999	20. 088	95°51′			
新城	XE6	5. 174	9. 007	20. 094	95°35′	8.80	0.40	51.18
	XE1	5. 201	9. 005	20. 094	95°48′			<u> </u>

中国地质大学 X 光室张建洪测,1989。

### 1.7 差热分析

34

含铬绢云母的差热分析曲线如图 3 所 示,去羟基化吸热谷较宽,表明脱羟基结构水 是在较大的温度区间内完成的且连续的吸热 过程。不同矿区、不同样品的吸热效应为 580 ~750℃,在80~120℃还普遍出现弱的脱层 间水及吸附水的吸热效应,以上特征均表明 含铬绢云母的水化程度较高。水化程度还可 从其热失重量分析看出(表 3),其中 WT,为 层间水及吸附水含量,WT2 为结构水含量, WT为各种水含量总和。进一步证实含铬绢 云母的水化程度与 Cr<sub>2</sub>O<sub>3</sub> 含量及矿化强度呈 正相关。

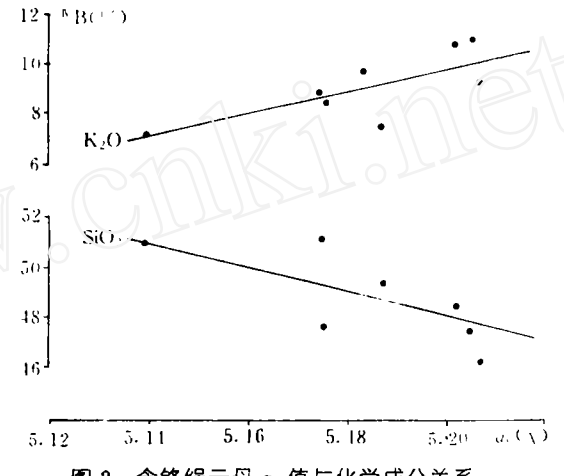


图 2 含铬绢云母 a。值与化学成分关系

## 形成机理

由表 4 可见,在胶东地区矿源层形成阶 段,Cr元素主要赋存于暗色造岩矿物及副矿 物中,而浅色造岩矿物中 Cr 含量较少,Cr 元 素分异程度较高。

随着重熔型花岗岩类的形成,从矿源层 中释放转移出来的 Cr 沉淀于岩浆早期形成 的副矿物、暗色甚至浅色造岩矿物中,表明 Cr 较分散;岩浆晚期形成的浅色造岩矿物中 Cr 含量甚少,体现了 Cr 优先在早期结晶相 中晶出的特征;在岩浆期后伟晶岩中Cr含量 又有所增加。Cr 全部集中进入浅色长英质矿 物中,使其 Cr<sub>2</sub>O<sub>3</sub> 含量升高。

在成岩成矿过渡阶段,即动力变质与热 液蚀变阶段,早期无水硅酸盐及晚期含水硅 酸盐形成期,均无 Cr 沉淀,全部暗色矿物及 大部分浅色矿物发生蚀变分解,有利于Cr元 素的释放运移。

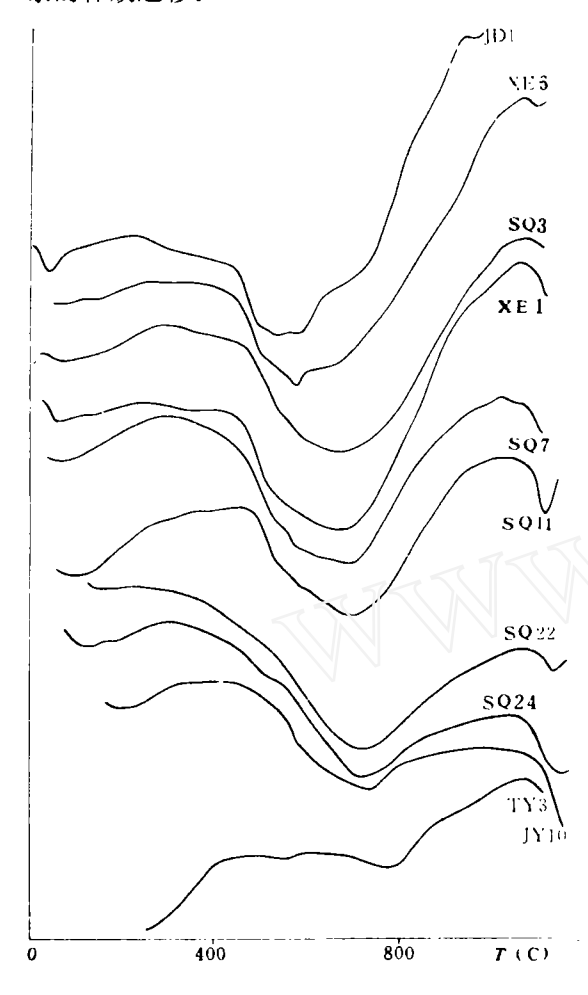


图 3 含铬绢云母差热分析曲线 表 3 胶东金矿中含铬绢云母热重分析(wt%)

_						
矿	   样号	WT <sub>1</sub> (80	WT <sub>2</sub> (580	WT(80	Cr <sub>2</sub> O <sub>3</sub>	矿
床	1+ 5	~120 C)	~750 C)	~750 C)	(%)	化
	SQ24	0.63	6.74	7.37	0.96	
=	SQ22	0.42	4.08	4.50	0.31	强
三山岛	SQ7	0.13	4.00	4.13	+	<b>+</b>
\$	SQ3	0.10	3. 70	3. 80	+	弱
	SQ11	0.12	3. 67	3. 79	0. 25	
	JY3	0.50	9. 72	10. 22	+	强
焦家	JD1	0.50	7.50	8.00	0.68	<b>+</b>
2,50	JY10	_	1. 92	1.92	0.31	弱
新	XE1	0.33	4.33	4.66	+	强
城	XE6	0. 28	2. 93	3. 21	0.40	→弱

中国石油大学差热分析室测,1989。

成矿阶段早期,尤其是中期,脉石矿物普

遍含 Cr,银金矿及自然金中也含一定量的 Cr。充分表明主成矿阶段有利于 Cr 的沉淀。 但大量 Cr 还是集中于含铬绢云母中,此与其 在八面体配位中的晶体场稳定能很高 (Burns, 1970)<sup>[9]</sup>, 易于代替 Al 进入 Al—O 八面体有关。

因此,由含铬绢云母的形成过程揭示, Cr来源于胶东群地层,在I型花岗岩类中较 分散,在成矿前奏再次得到释放与运移,沉淀 于主成矿阶段。故含铬绢云母形成机理表明 Cr 元素具一定的示踪性特征,可有效揭示胶 东金矿矿质来源®。

# 3 找矿意义

Cr 与 Au 具紧密的地球化学亲缘性,故 胶东地区 Cr 元素的自然历史演化过程也正 是 Au 的演化过程,含铬绢云母的出现,是与 基底活化作用有关的胶东金矿矿化的直接标 志,其中 Cr 与 Au 同源于胶东群地层。

在胶东金矿成矿作用过程中,铬铝云母 亚族印矿物出现的先后顺序反映形成环境 的规律是6::

在成岩成矿过渡阶段晚期,由于较高的 温度与挥发分,出现白云母;

在成矿阶段早期,由于温度降低,出现绢 云母;

在主成矿阶段,随着硅化增强、水热蚀变 程度提高、物理化学条件的变化,利于 Au 与 Cr 的沉淀,出现含铬绢云母。

即从成矿前奏到主成矿阶段、从围岩到 矿体,由白云母、绢云母向含铬绢云母过渡。 这一变化过程所反映的形成环境是,矿化原 岩中矿物分解彻底、环境富挥发分、由氧化到 还原、由碱性到近中性、水热蚀变作用加强、 硅化程度增高,标志着金由释放、运移到沉 淀、富集的过程。因此,苹果绿至翠绿色的含 铬绢云母可作为胶东金矿成矿与找矿的标型 矿物。

值得提出的是,绿岩带型金矿中也出现

含铬绢云母,但并不一定指示金矿化,因为该 类型矿化直接表现为对结晶基底的继承,缺 重熔型花岗岩类形成阶段,即 Cr 未经历分散 与分异过程,结晶基底中Cr 较高背景保存较 好,即使在较弱的热液蚀变作用下,Cr 也能 得到浓集,并出现含铬绢云母,而金矿化要在 热液蚀变程度足够高的条件下才会发生。 Boyle (1979) 曾提到在规模较大的基性岩剪 切带中,铬云母发育,金矿化却不强[11]。其原 因是基性岩中 Cr 的背景值较高,易浓集。实 际上含铬绢云母化学成分上也有反映,在金 矿化不强的情况下出现的含铬绢云母往往其 四面体中Si离子数较低、层间K离子数较高 即 H<sub>2</sub>O 含量较低,指示硅化弱、水热蚀变程 度低。因此,在利用含铬绢云母进行找矿时, 要辩证地分析成矿地质背景和详细研究含铬 绢云母化学成分特征。

## 结论

(1)胶东金矿中产出的含铬绢云母由于 与金矿化有密切的时空关系,呈鲜艳的绿色, 在野外易于识别,可作为野外工作中直接的 找矿标志。在胶东金矿围岩中常出现的"红 化",即长石、石英中出现赤铁矿化而被染色, 有时还含有大量微晶状金红石(陈光远等, 1993)[12]。"红化"与暗色矿物消失释放出 Fe3+、Fe2+、Ti等并与Fe2+氧化成Fe3+有关, 指示氧化环境,Au°氧化成 Au+、Au3+形式迁 移,是金矿化的前奏。而含铬绢云母化即"绿 化",指示还原环境,Au3+、Au+还原成 Au°而 沉淀,Fe3+还原成 Fe2+,并以硫化物形式沉 淀,为成矿时的产物。因此在野外把"红化"与 "绿化"结合起来考虑,是快速、简便、经济、有 效地金矿找矿勘探方法。

表 4 胶东地区金矿成岩成矿过程中 Cr 元素的演化

矿物		成岩	阶 段		过渡	阶 段	成矿阶段		
	矿源层	岩浆早期	岩浆晚期	伟晶岩	早	晚	早	中	晚
菱铁矿									0.001(1)
方解石	İ	ł					ļ	0.14(1)	0.002(2)
铁白云石		ļ					į	0.09(2)	
自然金						ļ	•	0.23(12)	
银金矿							1	0.74(19)	
铬绢云母		1				ĺ	1	0.50(32)	
绢云母	1						0.03(16)		
白云母		<u> </u>				微	]		
绿泥石	İ	İ				0.00(2)	1	0.05(3)	0.00(2)
金红石		İ				0.00(1)		0.14(1)	
钠长石				0.15(1)	0.02(2)	0.00(1)	0.05(4)		
石 英			0.04(2)				0.01(2)	0.14(2)	
微斜长石		0.04(4)	0.00(4)	0.12(7)	0.03(2)				
磁铁矿		0.13(11)	0.00(1)						
榍 石	ļ	0.17(2)							
褐帘石		0.24(11)							
斜长石	0.02(1)	0.04(3)	0.00(2)	0.17(4)					
石榴石	0.03(8)	ļ	0.01(1)						
黑云母	0.03(7)	0.07(3)							
角闪石	0.06(14)	0.08(4)							
辉 石	0.12(2)	}							
磷灰石	0.13(1)								
锆 石	0.13(1)								

括号内数字为样品数;银金矿 Cr 含量为 Crwt%,其余为  $Cr_2O_3wt\%$ ;据陈光远等,1994<sup>-8</sup>。

(2)含铬绢云母颗粒细小,干涉色较低, 常呈浅黄色,其化学成分中具有高 Si 低 K 特 征,是硅化强烈、水热蚀变程度高的产物。

Cr<sub>2</sub>O<sub>3</sub> 含量多数小于 1%, 虽指示金品位不 高,但可暗示矿化规模较大。以 2M<sub>1</sub> 型为主, 对于含 K₂O 较低即含 H₂O 较高的可能由

1M 多型转变而成,反映到晶胞参数 a。较小, 差热分析去羟基化吸热谷较宽、有脱层间水 及吸附水效应、热失重量较大。这些都是金矿 化的有利标志。

(3)由含铬绢云母形成机理揭示,从太古 代胶东群地层中释放转移出来的 Cr,在中生 代重熔型花岗岩类形成过程中产生分异与分 散,在成矿前奏的动力变质与热液蚀变过程 中得到充分活化运移,进入成矿阶段便产生 大幅度集中沉淀。Cr 元素的这一示踪性特征 显示,成矿作用对重熔型花岗岩类、重熔型花 岗岩类对结晶基底具物质成分上的继承关 系,反映胶东金矿成矿与基底活化作用密切 相关。

#### 参考文献

1 陈光远、邵伟、孙岱生、胶东金矿成因矿物学与找矿。

- 重庆出版社,1989.
- 马尔富宁,A.C.(蔡秀成等译), 矿物的谱学、发光和辐 射中心. 北京:科学出版社,1984.
- 3 Rossman, G. R., Micas Reviews in Mineralogy, Bailev, S. W., 1984, 13:145~181.
- Омельяненко, Б. И., Воловикова, И. М., Прин, В. А., и тр. Серия Геологическая, 1982, 5:69~87.
- 5 Eerl. D. D., Srodon, J., Lee, M., Nadeau, P. H., Northrop, H. R., American Mineralogist, 1987, 72:
- 6 鲁安怀、陈光远,岩石矿物学杂志.1994,13:(待刊).
- 7 叶大年,结构光性矿物学,北京:地质出版社,1988.
- 8 陈光远,鲁安怀,地学前缘,1994,1(3).
- 9 Burns R. G., Mineralogical Applications of Crystal Field Theory, Cambridge University Press, 1970.
- 10 鲁安怀,陈光远,地质论评,1994(待刊)
- 11 Boyle R. W. . The Geochemistry of Gold and its Deposits. Geological Survey Bulletin 280, 1979.
- 12 陈光远,孙岱生,周珣若等, 校东郭家岭花岗闪长岩成 因矿物学与金矿化 北京:中国地质大学出版社, 1993.

## Chromiferous Sericitization in Gold Deposits and Its Significance for Ore Prospecting

Lu Anhuai Chen Guangyuan

In Jiaodong gold ore, typomorphic characteristics of chromiferous sericite, i. e. Color, particle diameter, shape, chemical composition, anystal structure, optical character and DTA etc., have been studied in detail. Gold ore prospecting method which combines reddish alteration with greenish alteration (chromiun-bearing sericitization) is discussed. By Cr tracer element, the inherent relationship of Jiaodong gold ore with mineralization and the source bed has been revealed.

Key words: Cr-bearing sericte. Jiaodong gold ore

#### (上接第 31 页)

表 3 堇青石角岩的物理性能(平均值)

干燥抗	压强度	度 冻循环抗压强度 抗弯曲强度		体积密度	光泽度	吸水率	硬度	耐磨性	热膨胀系数		
MPa	kgf/cm <sup>2</sup>	MPa	kgf/cm²	MPa	kgf/cm²	(g/cm³)	(度)	(%)	(HS)	(g/cm²)	(1/℃)
278	2724	>235	>2479	36	353	2. 68	83	0.029	107	0.276	1.23×10 <sup>-5</sup>

②颜色呈墨黑色、紫黑色,有的有白色细 纹。板材在装饰施工中与玻璃幕墙、铝合金、 不锈钢构件组合,能形成格调高雅的高级配 套装饰效果。石材配以白底黑边、黑底白边、 红底黑边等组合,效果生动,有赏心悦目的装 饰性能;

③态体感强,光板色调均匀,特别适合于 庄重、肃穆的场合,是纪念馆、墓地最珍贵的 石材。现在日本已求购墨玉做墓地装饰材料, 可以预见,墨玉的开发利用大有前景;

①永不磨损,堇青石角岩硬度高达7,耐 磨又不怕酸、碱腐蚀,是墙面、地面的高级装

饰材料,优于黑色大理石、黑色花岗石。

#### 3.2 其他用涂

①是极好的家俱贴面,如桌面、茶几面 等:

②做影雕工艺品。在墨玉底板上,按各种 图形雕刻出人物、山水、虫鸟花卉、书法、人 像,再杂以金粉,可成极好的工艺品或招牌。;

③工业用途。堇青石角岩热膨胀系数极 低,其微粉可烧制工业陶瓷,用作各种机械仪 器、仪表、化验室台面、底座。现在中国科技大 学师生正在开发研究中。

37